

## АНАЛІЗ МАГНІТНОГО ПОЛЯ СТАРТЕР-ГЕНЕРАТОРА ПОСТІЙНОГО СТРУМУ З НЕЯВНОПОЛЮСНИМ СТАТОРОМ ДЛЯ ТЕПЛОВОЗІВ

*Проведено розрахунок магнітного поля стартер-генератора постійного струму з неявнополюсним статором для тепловозів в режисі роботи без навантаження на основі рішення польової задачі з використанням програми FEMM.*

*Выполнен расчет магнитного поля стартер-генератора постоянного тока с неявнополюсным статором для тепловозов в режиме работы без нагрузки на основе решения полевой задачи с использованием программы FEMM.*

Сучасний етап розвитку електромашинобудування характеризується значним зростанням використання активного об'єму машин. Для забезпечення надійної роботи новостворюваних типів електрических машин потрібно істотно підвищити точність розрахунків окремих елементів і машини в цілому. В результаті виникає необхідність обліку нових чинників, які раніше або взагалі не бралися до уваги, або враховувалися дуже приблизно.

З розвитком чисельних методів і пакетів прикладних програм, що використовуються для розрахунків магнітних полів і дослідження електрических машин (ЕМ) істотно полегшується [1]. Розраховувачам залишається адаптувати чисельні методи і прикладні програми до визначення конкретних параметрів і характеристик ЕМ. У зв'язку з цим метою даної роботи є чисельний аналіз магнітного поля стартер-генератора постійного струму з неявнополюсним статором в режимі роботи без навантаження виконаного методом скінчених елементів (МСЕ).

Досліджується стартер-генератор постійного струму з неявнополюсним статором з такими параметрами: потужністю  $P_2 = 65$  кВт, 110 В, 591 А, 1050/3333 об/хв., збудження незалежне 100 В. Конструкція стартер-генератора докладно наведена в [2]. Він має наступні основні параметри: довжина сталі якоря, основних і додаткових полюсів  $l_\delta = 205$  мм, діаметр якоря 332,4 мм, число пазів якоря  $Z_a = 48$ , кількість колекторних пластин  $k = 144$ , секції одновиткові, число активних провідників  $N_a = 288$ . Кількість полюсів і паралельних віток  $2p = 2a = 6$ , повітряний зазор  $\delta = 1,3$  мм. Залізо статора – з асинхронного двигуна ВАО5П280L4, внутрішній діаметр  $D_i = 340$  мм, зовнішній діаметр  $D_o = 520$  мм.

Обмотка незалежного збудження виконана із 2р концентричних котушкових груп, по дві котушки в групі. Великі котушки з кроком  $y_1 = 7$  мають кількість витків  $w_{k1} = 90$ , малі котушки з кроком  $y_2 = 5$  мають кількість витків  $w_{k2} = 50$  (рис. 1). Навантаження на обмотку незалежного збудження модернізованого стартер-генератора значно менше в порівнянні з серійним завдяки меншому повітряному зазору, а також завдяки тому, що частина основного магнітного потоку створюється спільною дією MPC обмотки якоря і генераторної статорної обмотки.

Магнітне поле, як це і прийнято для класичних типів ЕМ, розглядається в поперечному перетині (рис. 1) і описується відомим [3] диференціальним рівнянням:

$$\nabla \times \left( \frac{1}{\mu(B)} \nabla \times \mathbf{A} \right) = \mathbf{J}, \quad (1)$$

де  $\mathbf{A}$  – векторний магнітний потенціал (ВМП);  $\mathbf{J}$  – густота струму;  $B$ ,  $\mu$  – магнітна індукція і проникність.

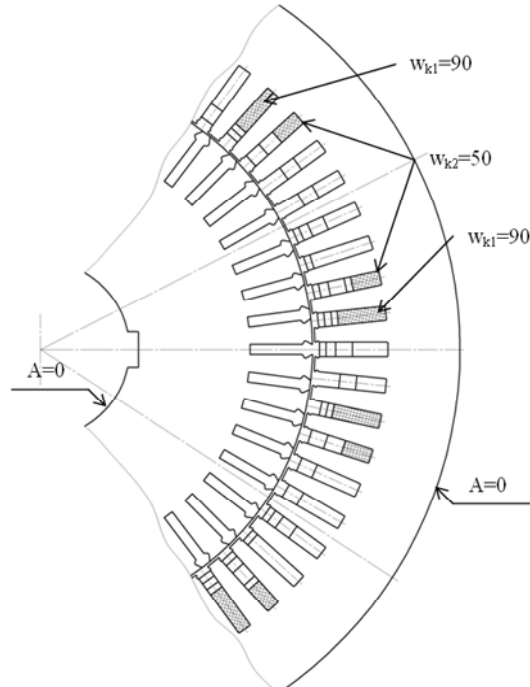


Рис. 1. Поперечний перетин стартер-генератора

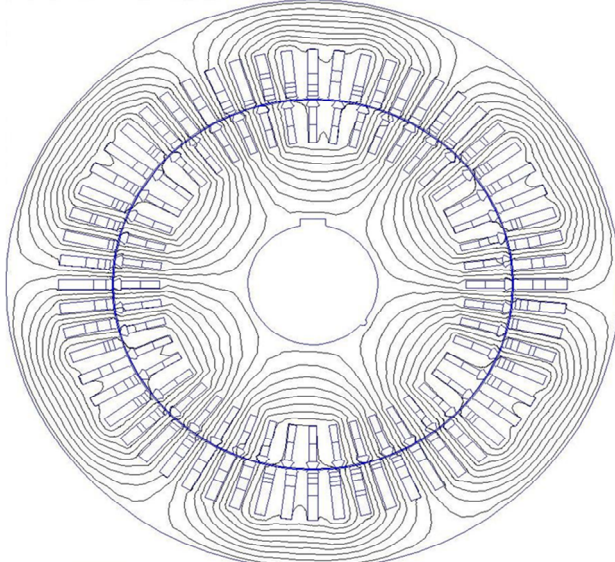
Область розрахунку (рис. 1) обмежується зовнішньою поверхнею осердя статора, де для векторного магнітного потенціалу задана умова Дирихле [1]. Розв'язання рівняння (1) у позначеній області проводиться методом скінчених елементів [3] з використанням програми FEMM [4]. Стартер-генератор графічно реалізовано в програмі КОМПАС V11 та перенесено в стандартний пакет FEMM, де додатково задана крива намагнічування сталі 2212 і коефіцієнт заповнення нею осердя, а також розподілені струми обмотки збудження по пазах статора (рис. 1).

Струм збудження розрахованний при проектуванні  $i_b = 17,2$  А, в пазах якоря струм відсутній, так як розглянуто режим роботи без навантаження.

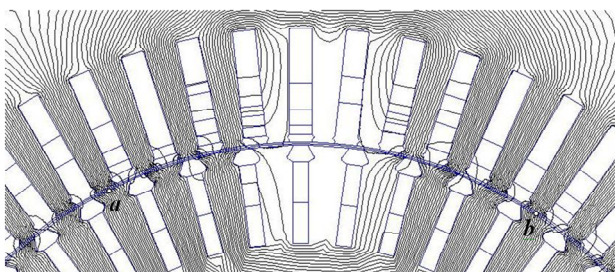
При запуску програми FEMM будується сітка з трикутною кінцевоелементною структурою: у нашому випадку були 653882 елементи. Потім відбувається розрахунок і виходить розподіл векторного магнітного потенціалу (ВМП) по вузлах сітки.

Картина магнітного поля стартер-генератора у режимі роботи без навантаження наведена на рис. 2 у

вигляді ліній рівного ВМП (максимальне значення ВМП складає 0,0598 Вб/м). Картина відображає реальний розподіл магнітного поля – на відміну від спрощеної його структури, що априорі задається, відповідної класичному методу розрахунку магнітного кола.



Між сусідніми лініями поля на рис. 2 розміщується 5 % від повного потоку статора на полюсному діленні. Детальніше картина поля на одному з полюсних ділень в зубцево-пазовій зоні представлена на рис. 3, де між сусідніми силовими лініями розміщено 1 % від повного потоку статора.



У результаті розрахунку магнітного поля можна визначити цілий ряд параметрів ЕМ. Зокрема, легко обчислюється магнітний потік, що проходить через повітряний проміжок на полюсному діленні:

$$\Phi = l_\delta (A_b - A_a), \quad (2)$$

де  $l_\delta$  – активна довжина;  $A_a, A_b$  – значення ВМП у точках  $a$  і  $b$  (рис. 3), віддалених один від одного на полюсне ділення.

Так, з проведеного розрахунку магнітного поля магнітний потік, створений обмоткою збудження  $\Phi = 0,192 \cdot 10^{-2}$  Вб, що складає 50 % від основного магнітного потоку створеного спільною дією МРС обмотки якоря і генераторної статорної обмотки. Крім того, після розрахунку магнітного поля визначені значення магнітної індукції в повітряному проміжку, проведено розрахунок ЕРС в обмотці якоря. Результати

ти розрахунків (МСЕ) у порівнянні з результатами, що зроблені в [2], та результатами, отриманими при випробуваннях макетного зразка стартер-генератора на ПАТ "Електромашина" наведено у табл. 1.

Таблиця 1

Параметр	(МСЕ)	Спрощений метод [2]	Результати випробувань
$\Phi, \text{Вб}$	$1,005 \cdot 10^{-2}$	$0,975 \cdot 10^{-2}$	$1,0029 \cdot 10^{-2}$
$B_\delta, \text{Tл}$	0,9	0,85	0,87
$E, \text{В}$	114	113	113,5

Таким чином, можна зробити висновок, що спрощений метод не дає необхідну точність розрахунку електромагнітних параметрів стартер-генератора з неявнополюсним статором. Потрібно вдосконалити розробку методик розрахунку саме для цього класу ЕМ, яка б враховувала багато режимів роботи стартер-генератора.

#### СПИСОК ЛІТЕРАТУРИ

- Мильх В.И., Полякова Н.В. Определение электромагнитных параметров электрических машин на основе численных расчетов магнитных полей // Електротехніка і електромеханіка. – 2006. – №2. – С. 40-46.
- Лущик В.Д., Варванський А.Ю. Стартер-генератор постійного струму з неявнополюсним статором // Електротехніка і електромеханіка. – 2009. – №6. – С. 40-46.
- Сильвестер П., Феррари Р. Метод конечных элементов для радиоинженеров и инженеров электриков. Пер. с англ. – М.: Мир, 1986. – 318 с.
- Meeker D. Finite Element Method Magnetics. Version 4.0. User's Manual, January 26, 2004 //http://femm.berlios.de.

Надійшла 20.09.2010

Варванський Артем Юрійович  
Донбаський державний технічний університет  
кафедра "Електричні машини і апарати"  
94204, Алчевськ, пр. Леніна, 16  
тел. (050) 230-36-49, e-mail: Art\_v\_u@rambler.ru

A.Yu. Varvanskyi  
Analysis of a locomotive nonsalient-stator DC  
starter-generator magnetic field.

FEMM-based computation of magnetic field of a locomotive nonsalient-stator DC starter-generator is made for no-load operating mode on the basis of a field problem solution.

**Key words – locomotive DC starter-generator, nonsalient stator, magnetic field, no-load operating mode, computation.**